

液质联用检测人体血浆中的阿奇霉素

胡万群, 许毓, 刘飞, 芮蕾, 郭庆祥

(中国科学技术大学化学系, 合肥 230026)

摘要 采用高效液相色谱串联质谱技术(HPLC-MS/MS)测定人体血浆中阿奇霉素的浓度。选用 Lichrospher CN 柱, 流动相为 $V(\text{乙腈}) : V(\text{水}) = 40 : 60$ (水中含体积分数为 0.1% 的甲酸和质量分数为 0.1% 的醋酸铵), 电喷雾离子源正离子方式检测。该方法在 2.34 ~ 600 ng/mL 范围内线性关系良好, 定量下限为 2.34 ng/mL ($S/N > 10$), 回收率 94.13% ~ 97.42%, 基质效应 92.50% ~ 107.87%, 日内和日间测定药物浓度的相对标准偏差(RSD)均小于 10.0%。用该方法测定了 24 名男性健康志愿者单剂量口服 500 mg 阿奇霉素制剂和参比制剂于 192 h 内的血药浓度, 并进行了生物等效性研究。

关键词 阿奇霉素; 人体血浆; 生物等效性; 高效液相色谱串联质谱法

中图分类号 O657 文献标识码 A 文章编号 0251-0790(2007)11-2046-05

阿奇霉素是十五元大环内酯类抗生素, 其结构与红霉素相似。在红霉素内酯环的 9a 位上掺入 1 个甲胺基, 将内酯环扩展成十五元环, 形成一类新的大环内酯类抗生素。临床主要用于治疗敏感细菌引起的感染, 如支气管炎及肺炎等下呼吸道感染、皮肤和软组织感染、急性中耳炎、鼻窦炎、咽炎及扁桃体炎等上呼吸道感染等^[1]。

近年来, 关于阿奇霉素药代动力学研究较多, 人体血浆中阿奇霉素的测定方法多为微生物法^[2~5]和高效液相色谱(HPLC)法^[6]。但由于阿奇霉素在人体内消除半衰期长(>40 h), 造成血浆中药物浓度较低, 所以用上述方法不能很好地描述药物的代谢动力学特征。王玉花等^[7]用高效液相色谱-质谱(HPLC-MS)法测定人血浆中阿奇霉素浓度, 血浆样品用乙酸乙酯提取, 最低定量限为 2.5 $\mu\text{g}/\text{mL}$; Chen 等^[8]采用 HPLC-MS 法测定人血浆中阿奇霉素浓度, 用甲基叔丁基醚-正己烷提取法处理血浆样品, 最低定量限为 2.0 ng/mL; 李晓哲等^[9]用高效液相色谱串联质谱(HPLC-MS/MS)法测定人血浆中阿奇霉素浓度, 最低定量下限为 1.0 ng/mL, 灵敏性较高, 但采用正己烷-二氯甲烷和异丙醇的混和溶液(体积比 300:150:15)处理血浆样品, 提取溶剂毒性较大, 且操作比较繁琐。

本文用 HPLC-MS/MS 法测定人血浆中阿奇霉素浓度, 采取甲醇直接沉淀的血浆样品处理方法, 根据化学药物制剂人体生物利用率和生物等效性(<http://www.sda.gov.cn/gsz05106/08.pdf>)以及美国 FDA 生物样品分析的指导原则(<http://www.fda.gov/cder/guidance/index.htm>), 进行了测定人体血浆中阿奇霉素的方法学评价, 并用该方法测定了 24 名男性健康志愿者单剂量口服阿奇霉素 500 mg 后的血药浓度, 进行了生物等效性研究。

1 实验部分

1.1 仪器与试剂

美国 Finnigan 公司 TSQ Quantum Ultra AM 型 LC-MS/MS 联用仪, ESI 离子源, Xcalibur 1.4 数据处理系统; WH-2 型微型旋涡混合仪(上海沪西分析仪器厂); Minispain 微型高速离心机(德国 Eppendorf 公司)。Lichrospher CN 柱(150 mm × 4.6 mm, i. d., 5 μm , 江苏汉邦科技有限公司)。

阿奇霉素对照品(中国药品生物制品检定所); 内标红霉素对照品(中国药品生物制品检定所); 甲

收稿日期: 2007-03-22.

基金项目: 国家自然科学基金(批准号: 20332020)资助。

联系人简介: 许毓, 女, 博士, 副教授, 主要从事有机分析方面研究。E-mail: xyu@ustc.edu.cn

郭庆祥, 男, 教授, 主要从事有机化学研究。E-mail: qxguo@ustc.edu.cn

醇、乙腈和甲酸(Merck公司, 色谱纯); 醋酸铵(中国医药集团化学试剂有限公司, 分析纯), 自制三重蒸馏水。通过优化实验选择HPLC-MS/MS的工作条件(见表1), 进行人体血浆中阿奇霉素的测定。

Table 1 HPLC-MS/MS operating conditions^{*}

Electrospray voltage/kV	4.80	MS ² fragment for azithromycin	749.38→591.16
Capillary temperature/°C	320	MS ² fragment for erythromycin	734.33→576.26
Source(CID) energy/eV	14	Mass scan time/s	0.50
Sheath gas pressure/MPa	2.3	Mass scan width	0.20
Auxiliary gas pressure/MPa	0.10	V(Acetonitrile): V(Water)(0.1% HCOOH+0.1% NH ₄ OAc)	40:60
Collision energy for azithromycin/eV	30	Flow rate of mobile phase/(mL·min ⁻¹ , fractional flow ratio 3:1)	1.00
Collision energy for erythromycin/eV	25	Temperature of column/°C	20

* Electrospray ionization source; positive selected reaction monitoring.

1.2 实验过程

1.2.1 标准品溶液的配制 称取3.00 mg阿奇霉素对照品于5 mL容量瓶中, 用甲醇溶解并定容至所要求的刻度, 此母液的质量浓度为600.00 μg/mL。再依次配制成6.00, 3.00 和 1.50 μg/mL以及750.00, 375.00, 187.50, 93.75, 46.88 和 23.44 ng/mL溶液。称取2.00 mg红霉素对照品于5 mL容量瓶中, 用甲醇溶解并定容至刻度, 应用时再稀释至0.50 μg/mL。

1.2.2 血浆样品的处理与测定 取100 μL血浆于1.5 mL离心管中, 加入10 μL内标溶液(0.50 μg/mL), 振荡混匀, 再加入300 μL甲醇, 涡旋2 min, 12100g离心10 min, 取上清液10 μL进样分析。

1.2.3 标准曲线和质控样品的制备 取100 μL空白血浆, 加10 μL阿奇霉素标准系列溶液, 配制成相当于阿奇霉素血浆浓度为2.34, 4.69, 9.38, 18.75, 37.50, 75.00, 150.00, 300.00 和 600.00 ng/mL的样品, 按上述方法操作, 对每一浓度进样10 μL的3样本进行分析。

取100 μL空白血浆, 分别加10 μL阿奇霉素标准溶液46.88, 375.00 ng/mL和3.00 μg/mL(低、中、高3个浓度), 配制成相当于阿奇霉素血浆浓度为4.69, 37.50 和 300.00 ng/mL的样品, 作为质控样品。按“血浆样品的处理”方法操作, 对每一浓度进样10 μL(5个样本)进行分析。

1.2.4 HPLC-MS/MS测定人体血浆中阿奇霉素的方法学评价 (1) 方法的专属性考察: 阿奇霉素与内标红霉素在ESI正离子化方式下, 主要生成[M+H]⁺分子离子峰, 分别为m/z 749.38和m/z 734.33。选择性地对分子离子峰[M+H]⁺进行产物离子扫描(图1), 可见阿奇霉素与内标红霉素生成的主要碎片离子分别为m/z 591.16和576.26, 将两者作为定量分析时监测的产物离子。

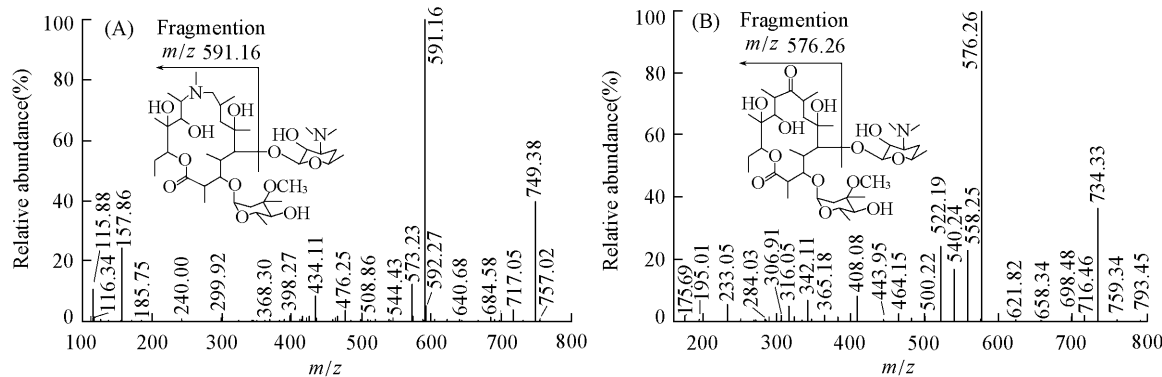


Fig. 1 Product ion scan of [M+H]⁺ ion of azithromycin(A) and erythromycin(B)

分别取100 μL 6名受试者的空白血浆, 按“血浆样品处理”方法操作(不加内标溶液), 进样10 μL分析, 得色谱图2(A); 分别取23.44 ng/mL的标准溶液和内标溶液(0.50 μg/mL)各10 μL加入到空白血浆中, 依同法操作, 得色谱图2(B); 取受试者口服给药后(96 h)的血浆样品, 依同法操作, 得色谱图2(C)。由图2(C)可见, 空白血浆中无内源性物质干扰阿奇霉素和内标红霉素的测定, 阿奇霉素和内标红霉素的保留时间分别为(3.07±0.02)和(3.30±0.03) min, RSD(%)分别为0.65和0.91。

(2) 血浆中阿奇霉素标准曲线和定量下限: 取阿奇霉素储备液, 加空白血浆, 按逐级稀释的方法依次配制成相当于阿奇霉素血浆浓度为2.34, 4.69, 9.38, 18.75, 37.50, 75.00, 150.00, 300.00 和

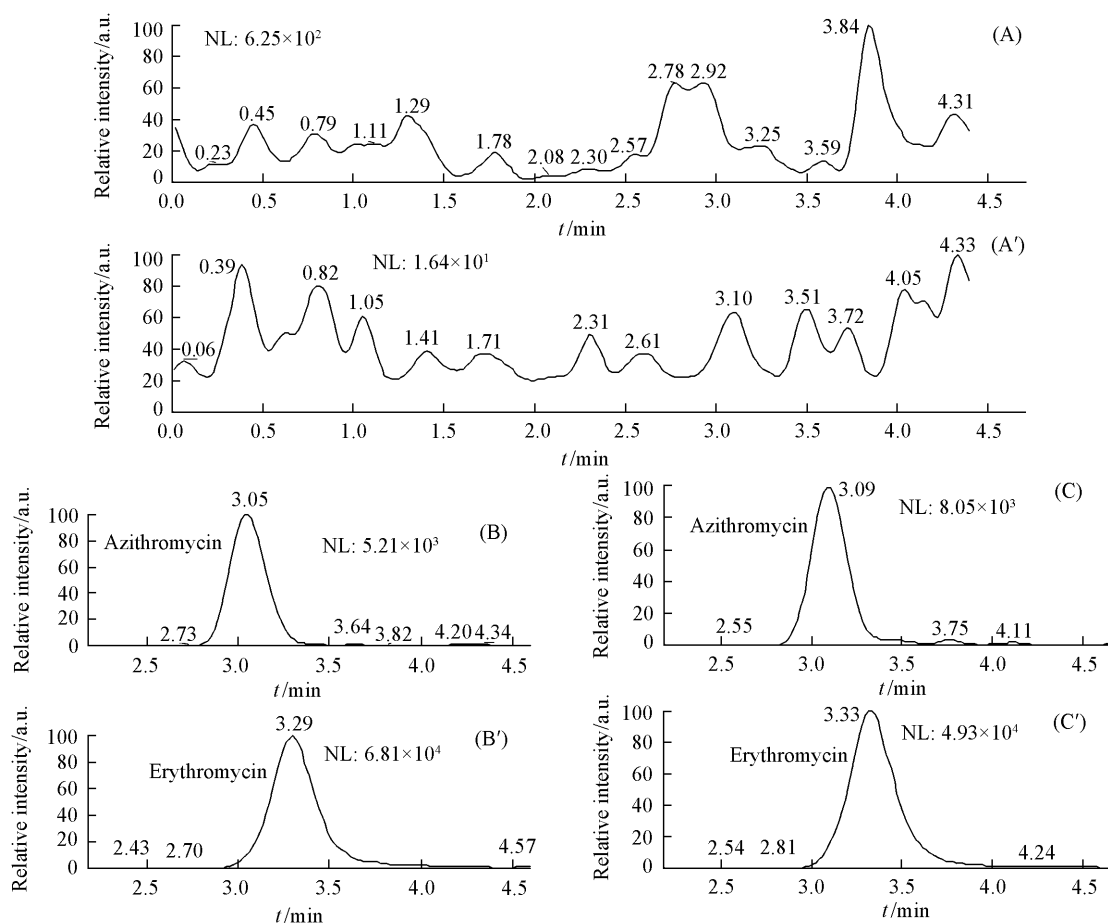


Fig. 2 SRM chromatograms for azithromycin and erythromycin (IS)

(A) Blank plasma; (B) plasma sample spiked with azithromycin and IS ($0.50 \mu\text{g}/\text{mL}$);

(C) a volunteer plasma sample 96 h after oral dose of 500 mg azithromycin.

$600.00 \text{ ng}/\text{mL}$ 的样品, 对每一浓度进行 3 个样本分析, 进样 $10 \mu\text{L}$, 记录色谱图, 以待测物浓度为横坐标, 以待测物与内标物的峰面积比值为纵坐标, 进行回归运算, 求得的直线回归方程即为标准曲线. 求得的标准曲线为

$$Y = (0.024 \pm 0.003)X + (0.006 \pm 0.004), \quad r = 0.997 \sim 0.999$$

根据标准曲线, 阿奇霉素的线性范围为 $2.34 \sim 600 \text{ ng}/\text{mL}$, 定量下限为 $2.34 \text{ ng}/\text{mL}$ ($S/N > 10$).

(3) 精密度试验: 取空白血浆, 配制阿奇霉素低、中、高 3 个浓度($4.69, 37.50$ 和 $300.00 \text{ ng}/\text{mL}$)的质量控制(QC)样品, 对每一浓度的 5 个样本进行分析, 连续测定 3 d, 根据当日的标准曲线计算 QC 样品的浓度. 再据 QC 此浓度结果计算本法的精密度, 数据见表 2. 日内及日间测定药物浓度的相对标准偏差(RSD)均小于 10% , 符合生物样品分析方法的精密度要求.

Table 2 Precision and accuracy for analysis of azithromycin in human plasma

$\rho(\text{Added C})/(\text{ng} \cdot \text{mL}^{-1})$	$\rho(\text{Found C})/(\text{ng} \cdot \text{mL}^{-1})$	Intra-run RSD (%)	Inter-run RSD (%)	Accuracy (%)
4.69	5.35 ± 0.33	6.08	9.06	114.13
37.50	37.14 ± 2.57	6.90	4.41	99.04
300.00	316.09 ± 25.26	7.99	4.00	105.36

(4) 回收率和基质效应实验: 取空白血浆, 按“标准曲线和定量下限”方法制备阿奇霉素低、中、高 3 个浓度($4.69, 37.50$ 和 $300.00 \text{ ng}/\text{mL}$)的样品, 对每一浓度进行 5 个样本分析. 进样 $10 \mu\text{L}$, 获得阿奇霉素相应峰面积 A_1 (5 次测定的平均值).

取空白血浆, 加入 $300 \mu\text{L}$ 甲醇, 涡旋 2 min, $12100g$ 离心 10 min, 取出上清液, 加入相应的标准溶液和内标, 配制阿奇霉素低、中、高 3 个浓度($4.69, 37.50$ 和 $300.00 \text{ ng}/\text{mL}$)的样品, 每一浓度进行 5

个样本分析, 进样 $10 \mu\text{L}$, 获得阿奇霉素相应峰面积 A_2 (5 次测定的平均值). 以 A_1/A_2 计算提取回收率, 数据见表 3. 低、中、高 3 个浓度的提取回收率为 94.13% ~ 97.42%.

取不同浓度的对照品溶液, 加入内标, 用甲醇配制阿奇霉素低、中、高 3 个浓度(4.69, 37.50 和 300.00 ng/mL)的样品, 对每一浓度进行 5 个样本分析, 进样 $10 \mu\text{L}$, 获得阿奇霉素相应峰面积 A_3 (5 次测定的平均值). 以 A_2/A_3 的值计算基质效应, 数据见表 3, 低、中、高 3 个浓度的基质效应为 92.50% ~ 107.87%.

(5) 稳定性实验: 取高、中、低 3 个浓度(4.69, 37.50 和 300.00 ng/mL)的样本, 按前述方法操作, 对每一浓度进行 5 个样本分析; 分别考察血浆样品于室温放置、在 -20°C 冰箱中反复冻融 3 次及长期冷冻下的稳定性, 结果见表 4. 由表 4 可见, 于室温放置 4, 24 h 和 -20°C 冰箱中反复冻融 3 次及长期冷冻 75 d 的阿奇霉素的稳定性均较好.

Table 4 Stability of azithromycin in human plasma

Condition	$\rho(\text{Added C})/(\text{ng} \cdot \text{mL}^{-1})$	$\rho(\text{Found C})/(\text{ng} \cdot \text{mL}^{-1})$	Precision [RSD(%)]	Accuracy(%)
Short-term stability for 4 h in plasma at room temperature	4.69	4.52	7.81	96.38
	37.50	36.19	3.99	96.51
	300.00	274.85	4.65	91.62
Short-term stability for 24 h in plasma at room temperature	4.69	4.68	5.38	99.79
	37.50	36.07	3.69	96.19
	300.00	282.93	5.05	94.31
Three freeze-thaw cycles	4.69	4.44	11.22	94.67
	37.50	37.09	4.99	98.91
	300.00	323.74	4.95	107.91
Storage in plasma at -20°C for 75 d	4.69	4.69	9.59	100.00
	37.50	34.29	7.28	91.44
	300.00	293.77	6.98	97.92

2 结果与讨论

2.1 质谱条件的选择与优化

阿奇霉素为十五元环大环内酯, 分子量 749.38, 结构式见图 1 插图. 由于分子中含 N, O 原子, 在 ESI 离子化方式下容易得到一个质子, 形成 $[\text{M} + \text{H}]^+$, 故采用正离子检测模式. 实验中直接进样一定浓度的阿奇霉素甲醇溶液, 分别用正、负离子模式扫描, 发现正离子模式优于负离子模式.

血浆中的内源性物质复杂, 为避免对分析产生干扰, 采用了选择反应检测(SRM) 模式, 选用阿奇霉素的碎片离子为检测对象. 采用 SRM 模式时, 质谱仅对一个或几个特征质荷比的离子对进行检测, 扫描时间仅在一个或几个特征离子对间分配, 大大提高了灵敏度. 从图 1 可以看出, 阿奇霉素碎片离子 591.16 的强度比其它碎片高. 为提高灵敏度, 要选择合适的碰撞能, 通过比较不同碰撞能条件下的碎片的强度, 最后确定碰撞能为 30 eV.

2.2 色谱条件的选择与优化

考察 C_{18} , C_8 和 CN 等色谱柱和不同组成比例的溶剂体系, 分析阿奇霉素和内标红霉素标准品溶液和阿奇霉素血浆样品, 选用 Lichrospher CN 柱($150 \text{ mm} \times 4.6 \text{ mm}$, $5 \mu\text{m}$ i. d.) 色谱柱; 流动相为乙腈-水(体积比 40:60, 水中含体积分数为 0.1% 的甲酸和 0.1% 醋酸铵), 阿奇霉素在酸性环境中稳定, 加入 0.1% 甲酸有助于待测物的质子化, 0.1% 醋酸铵可改变峰形, 增强峰的对称性. 在此条件下阿奇霉素和内标红霉素峰形最好, 无干扰, 保留时间恒定.

2.3 内标和血浆样品处理方法的选择

选作内标药物, 其色谱行为必须与待测药物相近. 相关报道^[7~9] 选用克拉霉素作内标, 在本实验

中，最先选用克拉霉素作内标时，发现有交叉污染。以红霉素作内标，待测药物阿奇霉素和内标红霉素峰形均好，且二者保留时间相近。

比较了液-液萃取与直接蛋白质沉淀法，作标准曲线，两者均获得良好的线性关系。选择用甲醇直接沉淀法处理血浆样品，经济，快捷，更适宜高通量生物样品分析。

2.4 血药浓度测定

24名受试者单次口服500 mg 阿奇霉素试验制剂和参比制剂于192 h 内的平均血药浓度-时间曲线见图3。

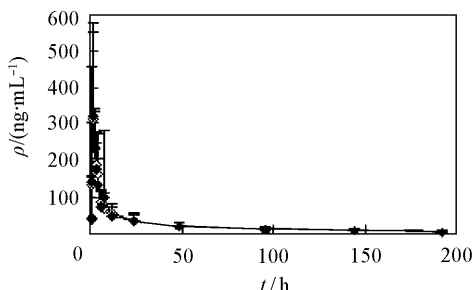


Fig. 3 Mean plasma concentration-time curves for azithromycin after a single oral dose of 500 mg azithromycin to 24 healthy volunteers
—◆— Test formulation; —◇— reference formulation.

参 考 文 献

- [1] WANG Pei(王佩), LI Yu-Zhen(李玉珍). Chin. J. New. Drugs(中国新药杂志)[J], 1996, **5**(3): 181—182
- [2] ZHANG Jing(张菁), GUO Bei-Ning(郭蓓宁), ZHANG Ying-Yuan(张婴元). The Chinese Journal of Clinical Pharmacology(中国临床药理学杂志)[J], 1996, **12**(2): 89—92
- [3] ZHANG Gui-Jun(张贵军), LI Ke-Xin(李可欣), SUN Chun-Hua(孙春华), et al.. China Pharmacy(中国药房)[J], 1998, **9**(4): 173—174
- [4] SHI Jing(石晶), SONG Hong-Jie(宋洪杰), LI Zhen(李珍), et al.. Chinese Journal of Pharmaceuticals(中国医药工业杂志)[J], 2001, **82**(5): 215—217
- [5] LIU Xin(刘新), JI Jing-Juan(纪敬娟), LIU Zhe(刘哲), et al.. J. Med. Theor. & Prac. (医学理论与实践)[J], 2006, **19**(2): 229—231
- [6] LI Dong(李东), WANG Da-Guo(王大果), NIE Zhong-Yue(聂中越), et al.. Chinese Journal of Clinical Pharmacy(中国临床药学杂志)[J], 2003, **12**(6): 355—357
- [7] WANG Yu-Hua(王玉花), CHEN Jun-Jie(陈俊杰), CHEN Ben-Mei(陈本美), et al.. Chin. Pharm. J.(中国药学杂志)[J], 2006, **41**(1): 51—53
- [8] Chen Ben-mei, Liang Yi-zeng, Chen Xiang, et al.. J. Pharm. Biomed. Anal. [J], 2006, **42**: 480—487
- [9] LI Xiao-Zhe(李晓哲), PANG Lai-Xiang(庞来祥), CHEN Xiao-Yan(陈笑艳), et al.. Pharm. J. Chin. PLA(解放军药学学报)[J], 2005, **21**(5): 342—346

Determination of Azithromycin in Human Plasma by High Performance Liquid Chromatography Coupled with Tandem Mass Spectrometry

HU Wan-Qun, XU Yu*, LIU Fei, RUI Lei, GUO Qing-Xiang*

(Department of Chemistry, University of Science and Technology of China, Hefei 230026, China)

Abstract A simple and sensitive liquid chromatography/tandem mass spectrometry method was developed and validated for determination of azithromycin in human plasma with erythromycin as the internal standard. Chromatographic separation was performed on a Lichrospher CN column (4.6 mm × 150 mm) with a mixture of acetonitrile and water (containing 0.1% formic acid and 0.1% ammonium acetate, volume ratio 40:60) as mobile phase. Selected ion monitoring was specific for azithromycin and erythromycin (IS). The assay was linear over the mass concentration range 2.34—600 ng/mL and the correlation coefficients for the calibration curves ranged from 0.997 to 0.999. The intra- and inter-day precisions, calculated from quality control samples, were less than 10%. Protein precipitation with methanol was chosen for sample preparation method. The recoveries ranged from 94.13% to 97.04% and matrix effect ranged from 92.50% to 107.87%. The method was applied to bioequivalence study after oral administration of 500 mg azithromycin to 24 healthy volunteers.

Keywords Azithromycin; Human plasma; Bioequivalence; HPLC-MS/MS

(Ed. : A, G)